

Opiakés Συνθήκες

Το ΗΜ πεδίο υπολογίζεται σε χώρο λαζ περικτείεσσαν από ακραίες επιφάνειες, π.χ. σε χώρο μεταξύ δύο εφαρμοκίων επιφάνειών ή σε χώρο μεταξύ δύο κυτταρικών επιφάνειών. Σε οπιακές περιπτώσεις η επισερική ακραία επιφάνεια είναι η επιφάνεια σε αύτη την η επισερική ακραία επιφάνεια γίνεται συμβιβαστική ή γραφική.

Στο επισερικό του ΗΜ πεδίου υπάρχουν περιοχές όλου ή μεταβολής του είναι ευνεκτικές. Οι περιοχές αυτές διαχωρίζονται μεταξύ των από τις επιφάνειες ασυνέχειας. Οι γονατικές μεταβολές από τις επιφάνειες ασυνέχειας. Οι περιοχές μεταξύ μεταβολής με διαφορετικές ιδιότητες, ή μεταβολής μεταβολής με διαφορετικές φορμές και οι αρχιδουλές σε επιφανειακές καταδιηγήσεις φορτίων και περιβάλλοντων μέσα στο ίδιο χώρο. Σε οπιακές περιπτώσεις οι επιφάνειες ασυνέχειας καταδιηγούνται σε ανικανά ανησυχία και γραφικές, όπου το πεδίο γίνεται αύτη.

Μέσα στις περιοχές ευνεκτικών μεταβολής εφαρμόζονται οι διαφορετικές επισερικές του Maxwell. Στις επιφάνειες ασυνέχειας, δυλαδίσεται στα εύνορα μεταξύ των περιοχών αφαδίων μεταβολών, χρησιμοποιούνται οι οπιακές (η ευνοπιακές) συνθήκες.

Οι σχέσεις αυτές, που όπως είδαμε προέρχονται από² την αλογοδιπρωτική μορφή των εξισώσεων του Maxwell είναι:

$$\hat{n} \times (\vec{E}_2 - \vec{E}_1) = 0 \quad (1)$$

$$\hat{n} \times (\vec{H}_2 - \vec{H}_1) = \vec{K} \quad (2) \quad (\vec{K} \text{ και } \vec{J}_s)$$

$$\hat{n} \cdot (\vec{D}_2 - \vec{D}_1) = \sigma \quad (3) \quad (\sigma \text{ και } P_s)$$

$$\hat{n} \cdot (\vec{B}_2 - \vec{B}_1) = 0 \quad (4)$$

και από το νόημα της διατύπωσης του φορέων:

$$\hat{n} \cdot (\vec{J}_2 - \vec{J}_1) = -\frac{\partial \sigma}{\partial t} - \nabla \cdot \vec{K} \quad (5)$$

όπου \hat{n} είναι η μονάδια του, καθέτο στη διαχωριστική επιφάνεια διάνυσμα, που διευθύνεται από την περιοχή 1 προς την περιοχή 2.

* $\hat{n} \times (\vec{E}_2 - \vec{E}_1) = 0$: οι εφαπτομενικές συνιστώσες της ηλεκτρικής λειτουργίας είναι είναι πάντα συνεχείς

* $\hat{n} \times (\vec{H}_2 - \vec{H}_1) = \vec{K}$: οι εφαπτομενικές συνιστώσες της μαγνητικής λειτουργίας είναι πάντα παραβολικού μεταβολής που επαρτίζει από την επιφανειακή λογιότητα του περιφαστού διαχωριστική επιφάνεια

$\hat{n} \cdot (\vec{D}_2 - \vec{D}_1) = \sigma$: οι καθέτες συνιστώσες της λογιότητας των ηλεκτρικών ροΐς (η διιλεκτρικής μετατόπισης) παρουσιάζουν στη

διαχωρίσεις επιφάνεια μεταβολή³
ιει με την επιφανειακή λυκνότητα του
φορτίου στην επιφάνεια αυτή.

$\hat{n} \cdot (\vec{B}_2 - \vec{B}_1) = 0$: οι κάθετες συνιστώσες της λυκνότη-
τας μεταμεταξύ ποις (η μον. ελαγχή)
είναι ίδια συνεχείς.

La επιφεια κ' οι γραμμές ανακάλιξη, όπου το λεδίο γίνεται
άλειρο, μικρούν να θεωρηθούν οπιακές λεπτώσεις επιφανειών
ασυνέχειας. Οι οπιακές συνθήκες στα επίπεδα και στις
γραμμές αυτές προσδιορίζονται λάθι από τις αλογοκυρωτικές
εγγιώσεις.

Θεωρούμε, έχ. το ηλεκτροστατικό λεδίο που δικιαρχείται
σε χώρο ελιτρετότητας ε από διάφορες κατανομής φορ-
τίου και από ένα εμβολιακό φορτίο q, στην αρχή τους
συντεταγμένων. Η ένταση του ηλεκτρικού λεδίου \vec{E} βρί-
σκεται από την υπέρθεση του λεδίου \vec{E}_q , που οφέλεται
στο εμβολιακό φορτίο, και του λεδίου που προκαλείται
από τα υιόδοντα φορτία. Στη θέση του εμβολιακού
φορτίου $n \vec{E}_q$ γίνεται άλειρη, ενώ ο λεδιακής έντασης
των υιόδοντων φορτίων παραμένει λεπρασμένη και
εποκένως, είναι αφεδυτέα:

$$\vec{E} \rightarrow \vec{E}_q = \frac{q}{4\pi\epsilon r^2} \hat{r} \quad (\text{για } \vec{r} \rightarrow 0) \quad (6)$$

Με ανάλογο τρόπο βρίσκουμε ότι σε ένα μηδετηροσαστικό πρόβλημα όλου, εκτός των άλλων κατανοήσιν φορτίων, υπάρχει και σήμα κατανοήσιν κατά μέρος του σήματος της γραμμής αντικατότα την λ , ισχύει:

$$\vec{E} \rightarrow \vec{E}_j = \frac{\lambda}{4\pi\epsilon r} \hat{r} \quad \text{για } \vec{r} \rightarrow 0 \quad (7)$$

Για το μήνυμα μαγνητικό λεδίο που αρχίζεται στην ροή πεύκωντας ή κατά μέρος του σήματος της γραμμής, και σε άλλες κατανοήσεις πεύκωντας, δια έχουμε:

$$\vec{H} \rightarrow \vec{H}_i = \frac{i}{2\pi r} \hat{\phi} \quad \text{για } \vec{r} \rightarrow 0 \quad (8)$$

Όταν το λεδίο επανιώνεται σε αντίκειμα το χώρο, στην οποία $x = \pm\infty$, $y = \pm\infty$ και $z = \pm\infty$. Το κυλινδρικό σύστημα είναι οι κυρδικές, κυλινδρικές επιφάνειες $r=0$ και $r=\infty$, καθώς και τα επιπέδα $z=\pm\infty$. Κάτω, στο σφαιρικό της καθώς και τα επιπέδα $r=0$ και $r=\infty$, καθώς είναι οι σφαιρικές επιφάνειες $\theta=0$ και $\theta=\pi$ (δια). Οι άλλες θ).

Ας υποθέσουμε ότι δέδουμε να προσδιορίσουμε το μηδετηροσαστικό λεδίο σε σήμα σφαιρικής λεπτοχύτητας στην κέντρο στην αρχή ενός συστήματος σφαιρικών συντεταγμένων. Η οπική συνθήκη στην αρχή αυτή είναι η σχέση (6), δηλαδή είναι το αυθαίριστο

5

φορτίο στο κέντρο της εφαρικής περιοχής. Εάν δεν υλάρ-
χει αυθειακό φορτίο στην αρχή, θα λεχεί ότι:

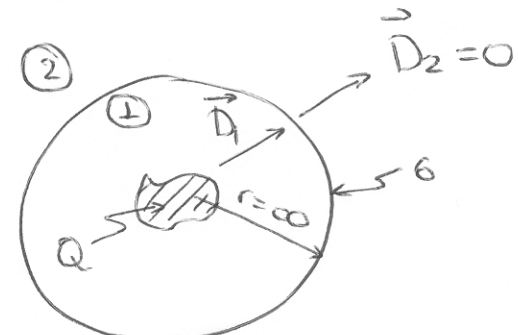
$$\lim_{r \rightarrow 0} \vec{E} = \text{πελερασμένο} \quad (9)$$

Οι οριακές συνθήκες στις οποίες λου βρίσκονται εσω-
άλιρο μηραν να προβορίσουν από τις ευνοιακές συνθή-
κες με την απόδοση υιόθετη. Στις επιφάνειες αυτές γίνεται
διανεμήσια φορτία και ρεύματα σε τρόπο ώστε το ευνο-
ηδικό λεδίο \vec{E}_f από τις επιφάνειες να γίνεται μηδενικό και μέ-
σα από τις επιφάνειες να έχει τη συμμετρία λου ελιβάτων
οι λιγές στις πελερασμένες περιοχές τους. Στις πελερασμένες
αυτές περιοχές δεν πρέπει να δικιαστήσεται λεδίο οφειδόμενο
στις λιγές του αλείρου, έκτοτε αν δικιαστείται σαφώς σε κάποιο
πρόβλημα ότι υλάρχει λεδίο από τις λιγές εσωάλιρο.

Ας εξετάσουμε το ηλεκτροστατικό λεδίο λου προβατίνας
από ευνοηδικό φορτίο Q διανεμήσιο κατά κάποιο τρόπο
σε μια περιορισμένη περιοχή, όπως φαίνεται στη σχήμα. Ως μεριδές
αποβαίνει από τη φορτία ($r \rightarrow \infty$),
το λεδίο τους θα συμπεριφέρεται
όπως το λεδίο ενός αυθειακού φορτίου

$$Q: \vec{D} \rightarrow \frac{\vec{Q}}{4\pi r^2} \hat{r} \quad (\text{για } \vec{r} \rightarrow \infty) \quad (10)$$

Η ίδια οριακή συνθήκη βρίσκεται και με την απόδοση
τρόπο. Φορτίο $-Q$ διανέμεται με εφαρική συμμετρία
στη εφαρική επιφάνεια με αλείρη ακίνητη (B2. σχήμα),
ώστε το λεδίο στην περιοχή ② να γίνεται μηδέν και στην



λεπτοχιών ①, κατά στη σφαιρική επιφάνεια $r \rightarrow \infty$, να έχει σφαιρική αυθιμετρία, αφού σε τόσο μεγάλες αποστάσεις από τα φορέα, το λεδίο θα ευκλεπτέρεσαι όπως το λεδίο ενός επιφανιακού φορέα Q .

Άνω τη συνοριακή συνθήκη ③:

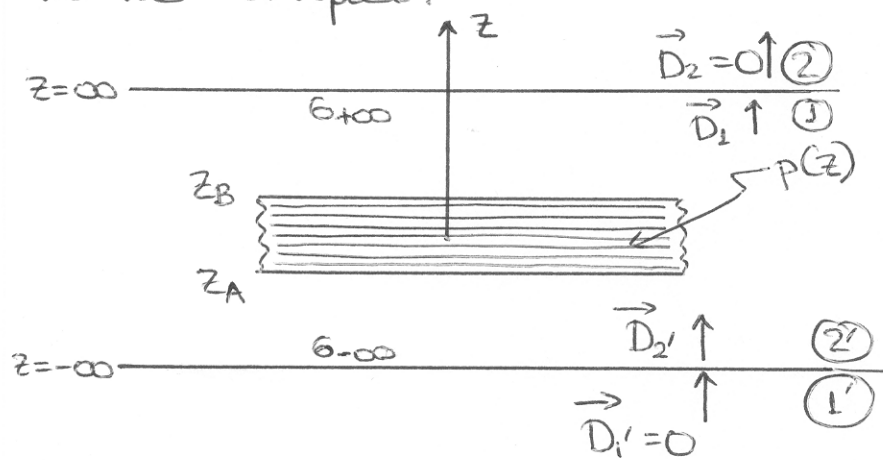
$$D_{n_2} - D_{n_1} = 0$$

θρισκακεί για $r \rightarrow \infty$, την οριακή συνθήκη:

$$D_r = D_{r_2} - \sigma \rightarrow 0 - \left(-\frac{Q}{4\pi r^2} \right) = \frac{Q}{4\pi r^2}$$

Οι εφαρμογικές συνιστώσες E_θ και E_ϕ , στο άλειρο θα είναι μηδενικές σύγχρονα με τη σχέση ①.

Στο δεύτερο παράδειγμα, στη μετατοποίηση των μετατοποιητικών λεδίων μιαν κατανομής φορτίου σε ένα στρώμα ανεπαρτικής έκτασης ως από τις διεύθυνσης x και για την επιλέξιμη z_A και z_B , όπως φαίνεται στο παρακάτω σχήμα.



Η χωρική λυκνότητα φορτίου επαρσάσσει μόνο από τη συγεσσογή της στην κάθετη διάσταση.

Στα επίπεδα $z \rightarrow +\infty$ και $z \rightarrow -\infty$ θα υπάρχει φορτίο με επιφανιακές λυκνότητες σ_{∞} και $\sigma_{-\infty}$. Οι λυκνότητες αυτές πρέπει να είναι ίσες, διαφορετικά θα υπάρχε λεδίο στις λεπ-

ρασκένες περιοχές, του θα προκαλθεί αλλά τα φορτία⁷ στο άλτερο. Το συνοδικό φορτίο εστια δύο ειλέδα $z \rightarrow \pm\infty$ και στο στρώμα αλλά z_A μέχρι z_B είναι μηδέν. Ωνειώς, οι επιφανειακές λυκνώσεις εστια άλτερο θα είναι:

$$\sigma_{\infty} = \sigma_{-\infty} = -\frac{1}{2} \int_{z_A}^{z_B} p(z) dz$$

Αλλά τη συνοπιακή συνθήκη (3) : $D_{n_2} - D_{n_1} = \sigma$

βρίσκουμε για $z \rightarrow \infty$:

$$D_{z_1} = D_{z_2} - \sigma_{\infty} \rightarrow 0 - \left[-\frac{1}{2} \int_{z_A}^{z_B} p(z) dz \right] = \frac{1}{2} \int_{z_A}^{z_B} p(z) dz$$

και για $z \rightarrow -\infty$:

$$D_{z_2}' = D_{z_1}' + \sigma_{-\infty} \rightarrow 0 + \left[-\frac{1}{2} \int_{z_A}^{z_B} p(z) dz \right] = -\frac{1}{2} \int_{z_A}^{z_B} p(z) dz$$

Οι βανιστώσεις E_x και E_y θα είναι μηδενικές για $z \rightarrow \pm\infty$, δύκινων με τη σχέση (1).

Ένα παραδειγματικό πέρασμα αλλά τη μαγνητοστατική. Θεωρούμε ότι συνοδικό πεύκα I πέρα παρατητικά εστια άλτα z αλλά $z = -\infty$ μέχρι $z = +\infty$ με κάποια κατανομής γε μια λειερασμένη περιοχή στο εγκάρριο επίπεδο, όπως φαίνεται στο παρακάτω σχήμα. Η ροή των πεύκων συνεχίζεται στο επίπεδο $z \rightarrow \infty$, στην κυλινδρική επιφάνεια $r \rightarrow \infty$ και στο επίπεδο $z \rightarrow -\infty$. Στην κυλινδρική επιφάνεια

$r \rightarrow \infty$ το πεύκα πέει με κυλινδρική συμμετρία, ώστε το λειό στην περιοχή ①, κοντά στην κυλινδρική επιφάνεια ($r=0$) να έχει κυλινδρική συμμετρία, όπως περιβάλλει για τόσο μεγάλες αποστάσεις από το πεύκα I.

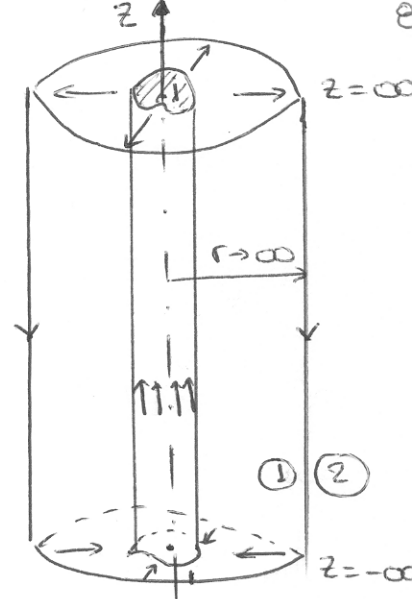
Ανά τη συνοπιακή συνθήκη ②: $\vec{r} \times \vec{H}_2 - \vec{H}_1 = \vec{k}$ έχουμε για $r \rightarrow \infty$ τις οπιακές συνθήκες:

$$H_{\varphi_1} = H_{\varphi_2} - k_z \rightarrow 0 - \left(-\frac{I}{2\pi r} \right) = \frac{I}{2\pi r}$$

$$H_{z_1} = H_{z_2} + k_\varphi \rightarrow 0 + 0 = 0$$

Η καθετή συνιστώσα B_r για $r \rightarrow \infty$ ζα είναι μηδενική, σύμφωνα με τη σχέση ④.

Στην περιπτώση των μαγνητοδυναμικών, ο οπιακός συνθήκος αλλείριο προκύπτει από την παρατήρηση ότι μιάρχων βήμα εξερχόμενα κύματα στην επιφάνεια του αλέρου και οχι, ή απαντώντας, εισερχόμενα.



9

Ζτα λαραδειγματα νω ακολουθουν χρησιμοποιούμε
για τη δίαιτη των, τις ευφειακές (διαφορικές) εξέσεις.
Εα περιεστέρα λαρουσιάριουν ευκαρκεία, οπότε αι οδο-
κληρωτικές εγκώμεις είναι τις δίαιτες ευκολότερα. Ζε
ηροβλήματα χωρίς ευκαρκεία, αλλά με όρες τις ηγέτες
γυναίκες, μπορεί να χρησιμοποιηθεί η υπερθέση. Η
χρησιμότητα των ευφειακών εξεγεων είναι καθόλου μεγά-
λη σε ηροβλήματα με οριακές συνθήκες χωρίς ευκαρκεία

Παράδειγμα 1

Να υλοποιηστεί με τις ευθειακές σχέσεις η ηλεκτρική πεδική ένταση στου αέρα που οφείλεται στην ακόλουθη κατανομή φορτίων σε λια σφαιρικά ακίναν α. Το κέντρο της σφαιρών υπάρχει ευθειακό φορτίο q , στο εσωτερικό της σφαιρών το φορτίο έχει σταθερή χωρική λυκνότητα ρ , και στην επιφάνεια της σφαιρών υπάρχει σταθερή επιφανειακή λυκνότητα σ .

Λύση:

Για να επιφενδύσουμε της σφαιρικής συμμετρίας, θα εργαστούμε σε ένα σφαιρικό ΣΣ με την αρχή του στο κέντρο της σφαιρών. Χάρη στη συμμετρία αυτή, η ένταση του ηλεκτρισμού θα εφαρτίζει μόνο από την ακίνα r , δηλ. την απόσταση από το κέντρο.

Το επιφανειακό φορτίο στη σφαιρική επιφάνεια προκαλεί ασυνέχεια του λεβίου και έτσι, χωρίζει το χώρο στις λεπτοχειρίδες ① και ②, όπως φαίνεται στο σχήμα.

Νόյω του φορτίου q στην αρχή του ΣΣ, έχουμε:

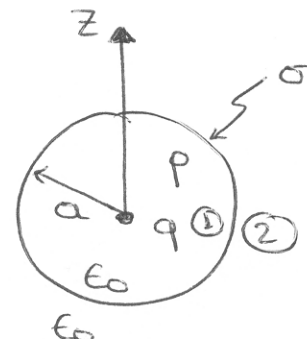
$$r \rightarrow 0$$

$$\vec{E}_1 \rightarrow \frac{q}{4\pi\epsilon_0 r^2} \cdot \hat{r} \Rightarrow$$

$$E_{r_2} = \frac{q}{4\pi\epsilon_0 r^2} \quad (1)$$

$$E_{01} = 0 \quad (2)$$

$$E_{\varphi_1} = 0 \quad (3)$$



Στην περιοχή $0 < r < a$ ισχύει:

$$\nabla \times \vec{E}_L = 0 \Rightarrow \begin{cases} \frac{1}{r \sin\theta} \frac{\partial}{\partial \theta} (\sin\theta \cdot E_{\varphi_L}) - \frac{1}{r \sin\theta} \frac{\partial E_{\theta_L}}{\partial \varphi} = 0 \\ \frac{1}{r \sin\theta} \frac{\partial E_r}{\partial \varphi} - \frac{1}{r} \frac{\partial}{\partial r} (r E_{\varphi_L}) = 0 \\ \frac{1}{r} \frac{\partial}{\partial r} (r E_{\theta_L}) - \frac{1}{r} \frac{\partial E_r}{\partial \theta} = 0 \end{cases}$$

$$\Rightarrow \begin{cases} \frac{\operatorname{ctg}\theta}{r} E_{\varphi_L} = 0 & (4) \\ -\frac{1}{r} \frac{d}{dr} (r E_{\varphi_L}) = 0 & (5) \\ \frac{1}{r} \frac{d}{dr} (r E_{\theta_L}) = 0 & (6) \end{cases} \quad \left(\frac{\partial E}{\partial \varphi} = \frac{\partial E}{\partial \theta} = 0 \right)$$

$(\operatorname{ctg}\theta = \frac{1}{\tan\theta} = \frac{\cos\theta}{\sin\theta})$

$$\begin{aligned} \nabla \cdot \vec{D}_L &= \rho \Rightarrow \nabla \cdot (\epsilon_0 \cdot \vec{E}_L) = \rho \Rightarrow \frac{1}{r^2} \frac{\partial}{\partial r} (r^2 E_r) + \frac{1}{r \sin\theta} \frac{\partial}{\partial \theta} (\sin\theta E_{\theta_L}) + \\ &+ \frac{1}{r \sin\theta} \frac{\partial E_{\varphi_L}}{\partial \varphi} = \rho/\epsilon_0 \Rightarrow \frac{1}{r^2} \frac{d}{dr} (r^2 E_r) + \frac{\operatorname{ctg}\theta}{r} E_{\theta_L} = \frac{\rho}{\epsilon_0} \quad (7) \end{aligned}$$

Εφαρμόζουμε τις οπικές συνθήκες για το μελετήσιμο λεδίο στη σφαιρική επιφάνεια $r = a$:

$$\hat{r} \times (\vec{E}_2 - \vec{E}_L) = 0 \Rightarrow \begin{cases} E_{\theta_2} = E_{\theta_L} & (8) \\ E_{\varphi_2} = E_{\varphi_L} & (9) \end{cases}$$

$$\hat{r} \cdot (\vec{D}_2 - \vec{D}_L) = \sigma \Rightarrow E_{\theta_2} - E_{\theta_L} = \frac{\sigma}{\epsilon_0} \quad (10)$$

Διαφορικές εξισώσεις του Maxwell για το μελετήσιμο λεδίο στην περιοχή $r > a$:

$$\nabla \times \vec{E}_2 = 0 \Rightarrow \begin{cases} \frac{dg\theta}{r} E_{\varphi_2} = 0 & (11) \\ -\frac{1}{r} \frac{d}{dr} (r E_{\varphi_2}) = 0 & (12) \\ \frac{1}{r} \frac{d}{dr} (r E_{\theta_2}) = 0 & (13) \end{cases}$$

$$\nabla \cdot \vec{D}_2 = 0 \Rightarrow \nabla \cdot (\epsilon_0 \cdot \vec{E}_2) = 0 \Rightarrow \frac{1}{r^2} \frac{d}{dr} (r^2 E_r) + \frac{dg\theta}{r} E_{\theta_2} = 0 \quad (14)$$

Opiakti sunθiiku sto ñineipo: ($r \rightarrow \infty$)

$$\vec{E}_2 \rightarrow 0 \Rightarrow \begin{cases} E_r \rightarrow 0 & (15) \\ E_{\theta_2} \rightarrow 0 & (16) \\ E_{\varphi_2} \rightarrow 0 & (17) \end{cases}$$

Añò (4), (11) $\Rightarrow E_{\varphi_1} = E_{\varphi_2} = 0$ (18) ñeavonoioucav etoi kai oí exégesis (3), (5), (9), (12) kai (17).

Añò tis exégesis (6) kai (13) bpiaskoufie ñe:

$$E_{\theta_1} = \frac{k_1}{r} \quad \text{kai} \quad E_{\theta_2} = \frac{k_2}{r}$$

Ónou k_1 kai k_2 esabdepés. Ëtai n (16) ñeavonoiçicav autókata. Añò tu (2) kai tu (8) ñómuo exoufie $k_1 = k_2 = 0$.

Zuvewiws

$$E_{\theta_1} = E_{\theta_2} = 0 \quad (19)$$

(Ze ráðe uiduktroscaukò npó bñufia ke sfragikin 6uñufetria $E_{\varphi} = 0$ kai $E_{\theta} = 0$).

13

Νέασθε τώρα την (7) λαμβάνοντας υπόψη ότι $E_{\theta_1} = 0$:

$$\frac{d}{dr}(r^2 E_{r_1}) = \frac{P}{E_0} \cdot r^2 \Rightarrow r^2 E_{r_1} = \frac{P}{E_0} \cdot r^2 \Rightarrow$$

$$\Rightarrow r^2 E_{r_1} = \frac{Pr^3}{360} + C_1 \Rightarrow E_{r_1} = \frac{Pr}{360} + \frac{C_1}{r^2}$$

Από την (1) οφεις βρίσκουμε ότι $C_1 = \frac{q}{4\pi E_0}$, κ' επομένως:

$$E_{r_1} = \frac{Pr}{360} + \frac{q}{4\pi E_0 \cdot r^2}$$

Η προσανίση δίνει την (14), για $E_{\theta_2} = 0$, γίνεται:

$$E_{r_2} = \frac{C_2}{r^2}$$

η οποία γνωστή κ' την οπιακή συνθήκη (15).

Η συνθήση C_2 προσδιορίζεται από τη συνοπιακή συνθήκη (16):

$$E_{r_2} - E_{r_1} = \frac{\sigma}{E_0} \Rightarrow \frac{C_2}{a^2} - \left(\frac{P \cdot a}{360} + \frac{q}{4\pi E_0 a^2} \right) = \frac{\sigma}{E_0} \Rightarrow$$

$$\Rightarrow C_2 = \frac{Pa^3}{360} + \frac{q}{4\pi E_0} + \frac{6a^2}{E_0}$$

κ' τελικά

$$E_{r_2} = \frac{Pa^3}{360 \cdot r^2} + \frac{q}{4\pi E_0 \cdot r^2} + \frac{\sigma}{E_0} \left(\frac{a}{r} \right)^2$$

Φυσικά, αυτές θα ληφθούσαν να είχαν υπολογιστεί πολλά περισσότερα λόγοι, αλλά αυτές είναι οι βασικών νόημά τους. Το ίδιο οφεις σε λεπτή
μορφή την βασικών νόημά τους. Το ίδιο οφεις σε λεπτή
μορφή την βασικών νόημά τους.

Παράδειγμα 2

Να βρεθεί με τις επιφανείς σχέσεις η ιδεοτροποποιητική λειτουργία του αέρα που αφέιται στην εβιτική κατανομή φορτίων σε ένα κυλινδρό απέραντης έκτασης με ακτινική θερμοκρασία θ , στο επωτερικό του κυλινδρού το φορέο έχει σταθερή ρυθμίση αντιστοιχίας r και στην κυλινδρική επιφάνεια υπάρχει σταθερή επιφανειακή αντιστοιχία σ .

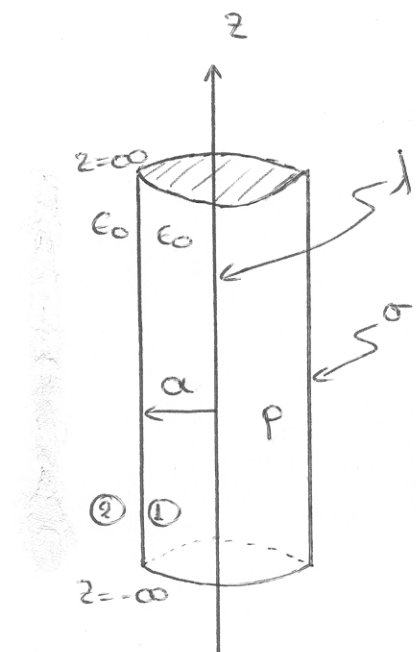
Άνων:

Οι χρησιμοποιούμε ένα κυλινδρικό 22.

Οι βασικοίς των φορέων λαρυγγίζουν κυλινδρική ευθυγερία (δηλ. είναι ανεξάρτητες τις γωνίες ϕ) και σφαιροειδής βάσης του αέρα z (δηλ. είναι ανεξάρτητες τις δυναταγμένες z). Η περιήγηση όπι και το λειτουργεί ανεξάρτητο από τις ϕ και z και θα είναι συνάρτηση μόνο της απόστασης r από τον αέρα.

Οπική συθύική στον αέρα z ($r \rightarrow 0$):

$$\vec{E}_L \rightarrow \frac{d}{4\pi\epsilon_0 r} \hat{r} \Rightarrow \begin{cases} E_{r_L} \rightarrow \frac{\lambda}{2\pi\epsilon_0 r} & (1) \\ E_{\phi_L} \rightarrow 0 & (2) \\ E_{z_L} \rightarrow 0 & (3) \end{cases}$$



Διαφορικές επιώσεις για την περιοχή ① ($0 < r < a$):

$$\nabla \times \vec{E}_L = 0 \Rightarrow \begin{cases} \frac{1}{r} \frac{\partial E_{z_1}}{\partial \varphi} - \frac{\partial E_{\varphi_1}}{\partial z} = 0 \\ \frac{\partial E_{r_1}}{\partial z} - \frac{\partial E_{z_1}}{\partial r} = 0 \\ \frac{1}{r} \frac{\partial}{\partial r} (r E_{\varphi_1}) - \frac{1}{r} \frac{\partial E_r}{\partial \varphi} = 0 \end{cases} \quad \left(\frac{\partial E}{\partial \varphi} = \frac{\partial E}{\partial z} = 0 \right)$$

$$\Rightarrow \begin{cases} 0 = 0 \\ -\frac{dE_{z_1}}{dr} = 0 \quad (4) \\ \frac{1}{r} \frac{d}{dr} (r E_{\varphi_1}) = 0 \quad (5) \end{cases}$$

$$\nabla \cdot \vec{D}_1 = \rho \Rightarrow \nabla \cdot (\epsilon_0 \vec{E}_1) = \rho \Rightarrow \frac{1}{r} \frac{\partial}{\partial r} (r E_r) + \frac{1}{r} \frac{\partial E_{\varphi_1}}{\partial \varphi} + \frac{\partial E_{z_1}}{\partial z} = \rho / \epsilon_0$$

$$\Rightarrow \frac{1}{r} \frac{d}{dr} (r E_r) = \rho / \epsilon_0. \quad (6)$$

Opiakès συνθήκες πάνω στην κυλινδρική επιφάνεια ($r=a$)

$$\hat{r} \times (\vec{E}_2 - \vec{E}_1) = 0 \Rightarrow \begin{cases} E_{\varphi_2} = E_{\varphi_1} \\ E_{z_2} = E_{z_1} \end{cases} \quad (7) \quad (8)$$

$$\hat{r} \cdot (\vec{D}_2 - \vec{D}_1) = \sigma \Rightarrow E_{r_2} - E_{r_1} = \frac{\sigma}{\epsilon_0} \quad (9)$$

Διαφορικές ε}ισώγεις για την περιοχή ② ($r>a$):

$$\nabla \times \vec{E}_2 = 0 \Rightarrow \begin{cases} 0 = 0 \\ -\frac{dE_{z_2}}{dr} = 0 \quad (10) \\ \frac{1}{r} \frac{d}{dr} (r E_{\varphi_2}) = 0 \quad (11) \end{cases}$$

$$\nabla \cdot (\epsilon_0 \vec{E}_2) = 0 \Rightarrow \frac{1}{r} \frac{d}{dr} (r E_{r_2}) = 0 \quad (12)$$

Οπιακή συνθήκη για αύξηση $(r \rightarrow \infty)$:

$$\vec{E}_2 \rightarrow 0 \Rightarrow \begin{cases} E_{r_2} \rightarrow 0 & (13) \\ E_{\varphi_2} \rightarrow 0 & (14) \\ E_{z_2} \rightarrow 0 & (15) \end{cases}$$

$$(5) \Rightarrow E_{\varphi_1} = \frac{k_1}{r}, \quad k_1 = \text{συστηματικό}$$

$$(2) \Rightarrow k_1 = 0$$

$$(11) \Rightarrow E_{\varphi_2} = \frac{k_2}{r}, \quad k_2 = \text{συστηματικό}$$

$$(7) \Rightarrow k_2 = 0$$

$$\text{Επομένως} \quad E_{\varphi_1} = E_{\varphi_2} = 0 \quad (16)$$

Η (14) ικανοποιείται αυτόματα.

Από τις σχέσεις (4) και (10) έχουμε ότι:

$$E_{z_1} = k_3 \quad E_{z_2} = k_4$$

Οι συστηματικές k_3 και k_4 πρέπει να είναι μηδενικές, αύξησηα με τις οπιακές συνθήκες (3), (8) και (15). Έπρα:

$$E_{z_1} = E_{z_2} = 0 \quad (17)$$

$$(6) \Rightarrow \frac{d}{dr} (r E_{r_1}) = \frac{\rho}{\epsilon_0} \cdot r \Rightarrow r E_{r_1} = \frac{\rho \cdot r^2}{\epsilon_0} + C_1 \Rightarrow$$

$$\Rightarrow E_{r_1} = \frac{\rho \cdot r}{2\epsilon_0} + \frac{C_1}{r}$$

$$(1) \Rightarrow C_1 = \frac{d}{2\pi\epsilon_0}$$

$$\text{Εποκένως : } E_{r_2} = \frac{P \cdot r}{2\epsilon_0} + \frac{\sigma}{2\pi\epsilon_0 r} \quad (18)$$

$$(12) \Rightarrow E_{r_2} = \frac{C_2}{r}$$

Η ονοία εκπονούει και την οποιαν αναθίκεται (13).

Η συλλογή C₂ προσδιορίζεται από τη συνοπιακή αναθίκη

(9):

$$\frac{C_2}{a} - \left(\frac{e \cdot a}{2\epsilon_0} + \frac{d}{2\pi\epsilon_0 \cdot a} \right) = \frac{\sigma}{\epsilon_0} \Rightarrow$$

$$\Rightarrow C_2 = \frac{ea^2}{2\epsilon_0} + \frac{d}{2\pi\epsilon_0} + \frac{\sigma a}{\epsilon_0}$$

κ' τελικά :

$$E_{r_2} = \frac{e \cdot a^2}{2\epsilon_0 \cdot r} + \frac{d}{2\pi\epsilon_0 \cdot r} + \frac{\sigma a}{\epsilon_0 \cdot r}$$

Η σύγχρονη εκδοχή της είναι ότι την εποκένωση πρέπει να χρησιμοποιούνται την συνοπιακή μορφή των βασικών υποθέσεων.

Παράδειγμα 3.

Ηλεκτρικό φορσίο είναι το λογιστικό στον αέρα σε χώρο απέραντης έκτασης στις διεύθυνσης x και y ανά $z=0$ μέχρι $z=h$ με χωρική λυκνότητα:

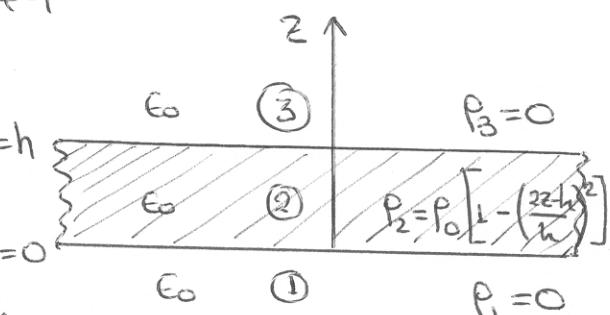
$$\rho = \rho_0 \left[1 - \left(\frac{2z-h}{h} \right)^2 \right]$$

Να βρεθεί το ηλεκτρικό λεδίο.

Λύση:

(Ετοιμαστείτε να πάρετε από την έκθεση αυτή το θέμα για την απόδειξη της συμμόρφωσης της λύσης με την πραγματική συνάρτηση.)

Αρχικά οι κατανομή των φορτίων γίνεται
σε στρώμα απέραντης έκτασης στις διεύθυν-
σης x και y με λυκνότητα που δίνεται $\epsilon_0 - z=0$
νότιον μέρος της z , και ηλεκτρική λειτακή
ένταση E_z που είναι και αυτή συνάρτηση της z .



Αντί να προσδιορίσουμε όλες τις ευνιστώσεις της ηλεκτρικής λειτακής έντασης με τις ευκλειακές σχέσεις, παρατηρούμε (εργασικολογώντας υλεργείς και ευκλειστικά σημεία σε προηγούμενα παραδείγματα)
ότι οι ευνιστώσεις x και y ήπηλει να είναι μηδενικές.

Επομένως η ένταση του λεδίου που δίνουμε να δρούει να δρούει να
έχει τη μορφή: $\rightarrow E = E_z(z) \cdot \hat{z}$.

Παρατηρούμε ότι η ένταση $E_z(z)$ πρέπει να προσαρμοστεί στην περιοχή $z < 0$ ώστε να
προσαρμοστεί στην περιοχή $z > h$ με την προηγούμενη πρόταση για την ευκλειακή σχέση και
την απλής ευθύγραμμη πρόταση για την περιοχή $0 < z < h$.

Opiakiai savdikai yia $z \rightarrow -\infty$:

$$E_{z_1} \rightarrow -\frac{1}{2\epsilon_0} \int_0^h p(z) dz = -\frac{p_0}{2\epsilon_0} \int_0^h \left[1 - \left(\frac{2z-h}{h} \right)^2 \right] dz = -\frac{p_0 \cdot h}{3\epsilon_0} \quad (1)$$

Diapotikes ejgeweis yia tnv nepioxi ①: ($z < 0$)

$$\nabla \times \vec{E}_1 = 0 \Rightarrow 0 = 0$$

$$\nabla \cdot (\epsilon_0 \vec{E}_1) = 0 \Rightarrow \frac{dE_{z_1}}{dz} = 0 \quad (2)$$

Opiakes savdikai yia $z=0$:

$$\hat{z} \times (\vec{E}_2 - \vec{E}_1) = 0 \Rightarrow 0 = 0$$

$$\hat{z} \cdot (\epsilon_0 \vec{E}_2 - \epsilon_0 \vec{E}_1) = 0 \Rightarrow E_{z_2} = E_{z_1} \quad (3)$$

Diapotikes ejgeweis yia tnv nepioxi ② ($0 < z < h$):

$$\nabla \times \vec{E}_2 = 0 \Rightarrow 0 = 0$$

$$\nabla \cdot (\epsilon_0 \vec{E}_2) = p \Rightarrow \frac{dE_{z_2}}{dz} = \frac{p}{\epsilon_0} = \frac{p_0}{\epsilon_0} \left[1 - \left(\frac{2z-h}{h} \right)^2 \right] \quad (4)$$

Opiakes savdikai yia $z=h$:

$$\hat{z} \times (\vec{E}_3 - \vec{E}_2) = 0 \Rightarrow 0 = 0$$

$$\hat{z} \cdot (\epsilon_0 \vec{E}_3 - \epsilon_0 \vec{E}_2) = 0 \Rightarrow E_{z_3} = E_{z_2} \quad (5)$$

Diapotikes ejgeweis yia tnv nepioxi ③ ($z > h$):

$$\nabla \times \vec{E}_3 = 0 \Rightarrow 0 = 0$$

$$\nabla \cdot (\epsilon_0 \vec{E}_3) = p \Rightarrow \frac{dE_{z_3}}{dz} = 0 \quad (6)$$

Οπιακή συνθήκη για $z \rightarrow +\infty$:

$$E_{23} \rightarrow \frac{1}{2\epsilon_0} \int_0^h p(z) dz = \frac{\epsilon_0 h}{3\epsilon_0}.$$

Η (2) δείχνει ότι η E_z , είναι σταθερή. Η σταθερά αποδιορίζεται ανά τη συνθήκη (1).

$$E_{21} = - \frac{\epsilon_0 \cdot h}{3\epsilon_0} \quad (8)$$

Ανά την (4) και ανά την (3) ληφθαύτε για την περιοχή 2 ότι

$$\begin{aligned} E_{22} &= E_{22}(z=0) + \frac{1}{\epsilon_0} \int_0^z p dz = - \frac{\epsilon_0 \cdot h}{3\epsilon_0} + \frac{\epsilon_0}{\epsilon_0} \int_0^z \left[1 - \left(\frac{2z-h}{h} \right)^2 \right] dz = \\ &= \frac{\epsilon_0}{6\epsilon_0} (2z-h) \left[3 - \left(\frac{2z-h}{h} \right)^2 \right] \quad (9) \end{aligned}$$

Η (6) δείχνει ότι η E_{23} δίνει σταθερή. Η σταθερά αυτή υπολογίζεται ανά την ομάδη συνθήκη (5) ή την (7).

$$E_{23} = \frac{\epsilon_0 \cdot h}{3\epsilon_0} \quad (10)$$

Η μέθοδος με τις διαφορικές σχέσεις είναι διαίτηρα χρήσιμη εάν τις λεπτιώσεις και η χωρική λυκνότητα $p(z)$ δεν παρουσιάζει ευθύγερπια, ενδιάμεση εύκολοτέρερη ανά την τεχνική με τις ολοκληρωτικές σχέσεις.

Παράδειγμα 4

Να βρεθεί το ηλεκτροστατικό λεδίο στον αέρα που προκαλείται από φορτίο κατανεμημένο σε εφαρική επιφάνεια ακτίνας $r=a$ με επιφανειακή πυκνότητα $\sigma = \sigma_0 \cdot \cos\theta$, όπου θ ο εφαρικής αντεσταγμένη.

Λύση

Η εφαρική επιφάνεια ακτίνας $r=a$ με το επιφανειακό φορτίο είναι επιφάνεια ασυνέχειας και χωρίζει το λεδίο σε δύο περιοχές. Θα χρησιμοποιούμε , εφαρικό ΣΣ, αφού η επιφάνεια ασυνέχειας είναι εφαρική.

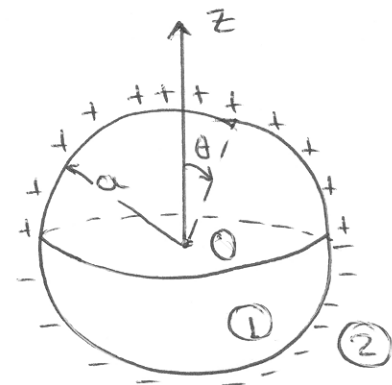
Η κατανομή του φορτίου δεν παρουσιάζει εφαρική συμμετρία. Η συμμετρία είναι κυλινδρική, δηλαδή η έννοια του μ. λεδίου δεν είναι ανεξάρτητη της αντεσταγμένης φ και δε δε έχει συντήβα στη διεύθυνση φ:

$$\vec{E}(r, \theta) = E_r(r, \theta) \cdot \hat{r} + E_\theta(r, \theta) \cdot \hat{\theta}$$

Η ανεύδειον εφαρκούμη των ολοκληρωτικών σχέσεων των πεδίου οδηγεί σε μαθηματικές δυσκολίες είσαγοντας την ασυμμετρία. Εάν ο.χ. εφαρκίσουμε το νόημα του Gauss για την ηλεκτρική ροή σε μια εφαρική επιφάνεια με ακτίνα $r > a$ θα έχουμε:

$$\oint \epsilon_0 \cdot E_r(r, \theta) \cdot dS = q_{\text{λεωφ}} = 0$$

Η συνιστώσα E_r εξαρτάται από τη γωνία θ , δηλαδή δεν θίγει σταδερη στη εφαρική επιφάνεια ολοκληρώσους και, έτσι, δε μπορεί να γίνει ίσω από το ολοκληρώμα. Η παραπάνω



22

εφίσιων, εποκένως, παραβάται αδόκτηρωτική για τη συνιστώσα αυτή και δε μπορεί να γίνει αργεβρίκιν.

Ω. Διαφορικές εξισώσεις για την περιοχή ① και για τη ② είναι:

$$\nabla \times \vec{E} = 0 \Rightarrow \begin{cases} 0 = 0 \\ 0 = 0 \\ \frac{1}{r} \left[\frac{\partial}{\partial r} (r E_\theta) - \frac{\partial E_r}{\partial \theta} \right] = 0 \quad (1) \end{cases}$$

$$\nabla \cdot (\epsilon_0 \vec{E}) = 0 \Rightarrow \frac{1}{r^2} \frac{\partial}{\partial r} (r^2 E_r) + \frac{1}{r \sin \theta} \frac{\partial}{\partial \theta} (\sin \theta E_\theta) = 0 \quad (2)$$

Οριακές συνθήκες:

$$r \rightarrow 0 : \quad \vec{E}_1 = \text{πενεργαθέν} \quad (3)$$

$$r = a : \quad E_{\theta 2} = E_{\theta 1} \quad (4)$$

$$r = a : \quad \epsilon_0 (E_{r2} - E_{r1}) = \sigma = \sigma_0 \cdot \cos \theta \quad (5)$$

$$r \rightarrow \infty : \quad \vec{E}_2 \rightarrow 0 \quad (6)$$

Παρατηρώντας τη συνθήκη (5), κανούμε την αρχική υπόθεση ότι η συνιστώσα E_r είναι ανάλογη προς $\cos \theta$:

$$E_{r1} = f_1(r) \cdot \cos \theta \quad (7)$$

$$E_{r2} = f_2(r) \cdot \cos \theta \quad (8)$$

Οπότε η εξισώση (5) ανταναλείται στη μορφή

$$f_2(a) - f_1(a) = \frac{\sigma_0}{\epsilon_0}$$

Ανά τις διαφορικές εξισώσεις (1) και (2) συνάγουμε ότι, είναι η E_r είναι ανάλογη προς $\cos \theta$, και E_θ θα πρέπει να είναι ανάλογη προς $\sin \theta$:

$$E_{\theta_1} = g_1(r) \cdot \sin \theta \quad (10)$$

$$E_{\theta_2} = g_2(r) \cdot \sin \theta \quad (11)$$

ΩΝΤΕ οι συνθήκες (4) γινέται:

$$g_2(\alpha) = g_1(\alpha) \quad (12)$$

Εποιησούμε τις σχέσεις (7), (8), (10) και (11) στις (1) και (2):

$$\frac{d}{dr}(rg) + f = 0 \quad (13)$$

$$\frac{d}{dr}(r^2f) + 2rg = 0 \quad (14)$$

Μαρτυρούμε την παράγωγο ως ρρός r των σχέσεων (14), εποιησούμε την εξίσωση (13) και βασιλιγούμε στη σχέση:

$$\frac{d^2}{dr^2}(r^2f) - 2f = 0 \quad (15)$$

Δοκιμαζούμε δύοις την μορφή $f \sim r^\alpha$ και έχουμε:

$$\frac{d^2}{dr^2}(r^2f) - 2f = [(a+2)(a+1) - 2] \cdot r^a = a \cdot (a+3) \cdot r^a = 0$$

ΩΝΤΕ οι τιμές του a βρίσκουνται ακόλους:

$$a=0, \quad a=-3$$

Η γενική λύση της (15) δα θα είναι:

$$f = C + \frac{k}{r^3} \quad (16)$$

Η έκφραση για τη συνάρτηση g μαρτυρίζεται από τη σχέση (14):

$$g = -\frac{1}{2r} \frac{d}{dr}(r^2f) = -C + \frac{k}{2r^3} \quad (17)$$

Ενοψέως οι συνιστώσες της γραμμής πίκους ανεξάρτητης εύταχης
επί το εγγεπικό ($r < a$) είναι:

$$E_{r1} = \left(C_1 + \frac{k_1}{r^3} \right) \cos\theta \quad (18a)$$

$$E_{\theta 1} = \left(-C_1 + \frac{k_1}{2r^3} \right) \sin\theta \quad (18b)$$

ε' όσο εγγεπικό ($r > a$) θα είναι:

$$E_{r2} = \left(C_2 + \frac{k_2}{r^3} \right) \cos\theta \quad (19a)$$

$$E_{\theta 2} = \left(-C_2 + \frac{k_2}{2r^3} \right) \sin\theta \quad (19b)$$

Ανά την οπική συνθήκη (3) αποκύνεται ότι:

$$k_1 = 0 \quad (20)$$

Ενώ ανά την οπική συνθήκη (6) έχουμε ότι:

$$C_2 = 0 \quad (21)$$

Οι συναρτήσεις C_1 και k_2 ληφθούν ανά τις δύο οπιατικές συνθήκες (5) και (4) ή, τελικώς 160δύνατα, ανά τις δύο εξής (9) και (12):

$$\left. \begin{aligned} \frac{k_2}{a^3} - C_1 &= \frac{\delta_0}{60} \\ \frac{k_2}{2a^3} &= -C_1 \end{aligned} \right\} \Rightarrow C_1 = -\frac{\delta_0}{360} \quad (22)$$

$$\left. \begin{aligned} \frac{k_2}{a^3} &= \frac{2\delta_0}{360} a^3 \end{aligned} \right\} k_2 = \frac{2\delta_0}{360} a^3 \quad (23)$$

και ανά τις δύο εξής (18) και (19) ληφθούμε την τελική έκφραση της γραμμής πίκους ανεξάρτητης εύταχης:

$$\vec{E}_1 = -\frac{\epsilon_0}{360} (\cos\theta \cdot \hat{r} - \sin\theta \cdot \hat{\theta}) = -\frac{\epsilon_0}{360} \cdot \hat{z} \quad (24)$$

$$\vec{E}_2 = \frac{\epsilon_0}{360} \left(\frac{a}{r}\right)^3 (2\cos\theta \cdot \hat{r} + \sin\theta \cdot \hat{\theta}) \quad (25)$$

To napou napideigma tou se klorosei va thdei enndeian ke tis odontoprotikis ejiswseis, dñntke ke tis enkeikis, oxesesis. H diou dev itav, dñstoxis, eukou kai gia auto xreiagesai sostifiatolismi tou mabifikikov meodosov gia problkata ke opakos evdikes. H avajku auti giveas atokia lepioscepsa aedonii, av enixepisouke va anafou- ke tui elipantaki luktutia an o $\sigma \cdot \cos\theta$ ee $\sigma \cdot \sin\theta$. Ekti- valke tui diou ke tou napariaw frilo kai yriyora avata- dñtaouke oti n meodosov auti se klorei va esparhoseti giatu veva luktutia.

H sostifikiki diou tui problkataov ke opakos evdikes anotdei autikeisevo jexwriosov mabifikatos.

Παράδειγμα 5

(Σφαιρικός αγώγος σε οβοιόκορφο
ιδεατότατό λεδί)

Αγώγικη σφαιρά ακτινας α πολοθετίται σε περιοχή όπου
υπήρχε οβοιόκορφο ιδεατό λεδί \vec{E}_0 . Η αναλογία στην
η εύταξη του ιδεατού λεδίου κατά τη μόνιμη κατά-
σταση ήταν ελιτυχάνεται μετά την εισαγωγή της σφαιρών.

Λύση:

Αφού η σφαιρά είναι αγώγικη, το ιδεατό λεδί είναι
εγωσερικό της ήταν είναι μηδενικό στη μόνιμη κατάσταση.
Ηρα σύμφωνα με τις οριακές δυνατικές για αγωγός, οι
εγωσερικές ιδεατικές δυνατικές γραφής θα γρένει να κατα-
λήγουν καθέττα στη σφαιρική επιφάνεια, όπου θα επέγειται ι-
αδεικτό φορδί. Η επιφανειακή λογιότητα του φορδίου αν-
ταντί είναι σήμωση.

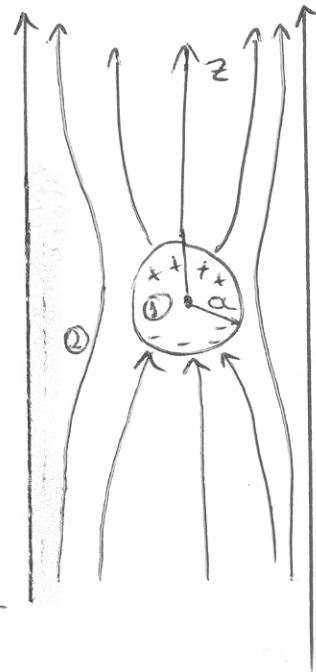
Το πρόβλημα δεν έχει σφαιρική συμμετρία και για αυτό
δε μπορούν να χρησιμοποιηθούν ανεύδοντας οι αλοχτηρωτικές
εφισιόνες του λεδίου. Το πρόβλημα γρένει
να λυθεί με τις ανθειακές εξέσεις.

Η ευρετική \vec{E} μετά την εισαγωγή της σφαιρών
θα είναι ien με την αρχική \vec{E}_0 , λου έχει τις
μηδές της eco άλειρο και, έτσι, δε θα επιρε-
γει από τη σφαιρά, και από την λεδιακή έ-
νταση \vec{E}_0 του άγνωστου επαρθέμενου φορδίου.

Στο εγωσερικό της σφαιρών (r₂) θα έχου-

με:

$$\vec{E}_1 = \vec{E}_0 + \vec{E}_{\sigma_1} = 0 \Rightarrow \vec{E}_{\sigma_1} = -\vec{E}_0 = -E_0 \cdot \hat{z}$$



27

Συγκρίνοντας το αυθιλέραβρα αυτό με τα αποεξιλέσματα
του προηγούμενου παραδειγμάτος, παρατηρήστε ότι ο \vec{E}_{6_1}
οφείλεται σε κατανομή φορέων στην επιφάνεια της σφαίρας με επιφανειακή λυκνότητα:

$$\sigma = \sigma_0 \cdot \cos\theta = (3\epsilon_0 E_0) \cdot \cos\theta$$

Εισήγειντες ο \vec{E}_0 θα είναι:

$$\vec{E}_{6_1} = -\frac{\sigma_0}{3\epsilon_0} \hat{z} = -E_0 \cdot \hat{z} = -\vec{E}_0 \quad (r < a)$$

$$\vec{E}_{\sigma_2} = \frac{\sigma_0}{3\epsilon_0} \left(\frac{a}{r}\right)^3 (2\cos\theta \cdot \hat{r} + \sin\theta \cdot \hat{\theta}) = E_0 \left(\frac{a}{r}\right)^3 (2\cos\theta \hat{r} + \sin\theta \hat{\theta}) \quad (r > a)$$

και ο συνοδικής λειδιάκης ένταση \vec{E} θα είναι:

$$\vec{E}_1 = 0 \quad (r < a)$$

$$\vec{E}_2 = \vec{E}_0 + \vec{E}_{\sigma_2} = E_0 \left[\left(1 + 2\frac{a^3}{r^3}\right) \cdot \cos\theta \hat{r} - \left(1 - \frac{a^3}{r^3}\right) \cdot \sin\theta \hat{\theta} \right] \quad (r > a)$$

Παρατηρείστε ότι στην επιφάνεια της σφαίρας οι ένταση
του ηλεκτρικού λειδιού φθάνει την τιμή τριπλασία από την
αρχική στα σημεία $\theta=0$ & $\theta=\pi$: $\vec{E}_2(r=a) = 3E_0 \cdot \cos\theta \cdot \hat{r}$.

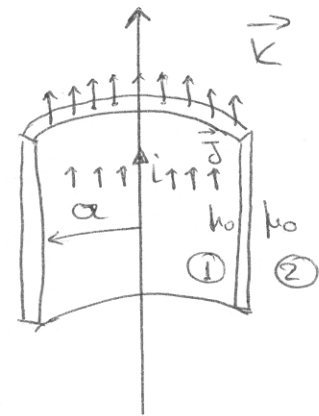
Παράδειγμα 6

Να βρεθεί ή από τις επιλακές σχέσεις η μαγνητική πεδιάκη
ένταση στον αέρα, και οποια προκαλείται από την εξίσως κα-
ταυούμιν ρεύματων σε ένα κυλινδρικό κύλινδρο απέραντης έκτασης
και αριθμούς α : Κατά μήκος του άξονα και ισόποστη σε διεύθυνση της
ρεύματος έντασης i , στο εσωτερικό του κύλινδρου και στα
πλαϊνά λικνώτιτα του ρεύματος είναι $\vec{J} = J \hat{z}$ και στην κυλιν-
δρική επιφάνεια υπάρχει σταθερή επιφανειακή λικνώτιτα
 $\vec{K} = K \hat{z}$.

Λύση:

Οι χρησιμοποιούμε ένα κυλινδρικό ΣΣ.

Οι λιγότεροι χαρακτηριστικοί από κυλινδρική
συμμετρία (δηλ. είναι ανεξάρτητες της συνε-
γεργήσεως z). Ζυγιλεράνουμε ίσα και η μαγνη-
τική πεδιάκη ένταση θα είναι ίση στην οποιαδήποτε
της απόστασης r από τον άξονα.



Η κυλινδρική επιφάνεια ή από την επιφανειακή ρεύματος είναι η
επιφάνεια ασυνέχειας και χωρίζει το λεδίο στις λεπίδες ①
και ②, του συγκειώνονται στο σχήμα.

Οι επιλακές σχέσεις που χρειάζονται για τη λύση είναι οι
ακόλουθες:

$$r \rightarrow 0 : \quad \vec{H}_1 \rightarrow \frac{i}{2\pi r} \hat{\phi} \Rightarrow \begin{cases} H_r \rightarrow 0 & (1) \\ H_\varphi \rightarrow \frac{i}{2\pi r} & (2) \\ H_z \rightarrow 0 & (3) \end{cases}$$

Το μόνιμο μαγνητικό λεδίο της λεπίδης ① λεχύει:

($0 < r < a$)

$$\nabla \times \vec{H}_1 = \vec{J} \Rightarrow \begin{cases} 0 = 0 \\ -\frac{dH_{z_1}}{dr} = 0 \end{cases} \quad (4)$$

$$\left. \frac{1}{r} \frac{d}{dr} (r H_{\varphi_1}) = J \right) \quad (5)$$

$$\nabla \cdot (\mu_0 \cdot \vec{H}_1) = 0 \Rightarrow \frac{1}{r} \frac{d}{dr} (r H_r) = 0 \quad (6)$$

Συνοπικές συθίκες στην εσωτερική επιφάνεια $r=a$:

$$\hat{r} \times (\vec{H}_2 - \vec{H}_1) = \vec{K} \Rightarrow \left. H_{\varphi_2} - H_{\varphi_1} \right) = K \quad (7)$$

$$\left. \begin{array}{l} H_{z_2} = H_{z_1} \end{array} \right) \quad (8)$$

$$\hat{r} \cdot (\mu_0 \vec{H}_2 - \mu_0 \vec{H}_1) = 0 \Rightarrow H_r_2 = H_r_1 \quad (9)$$

Διαφορικές εξισώσεις για την λεπτοχιή ② ($r>a$):

$$\nabla \times \vec{H}_2 = 0 \Rightarrow \begin{cases} 0 = 0 \\ -\frac{dH_{z_2}}{dr} = 0 \end{cases} \quad (10)$$

$$\left. \frac{1}{r} \frac{d}{dr} (r H_{\varphi_2}) = 0 \right) \quad (11)$$

$$\nabla \cdot (\mu_0 \cdot \vec{H}_2) = 0 \Rightarrow \frac{1}{r} \frac{d}{dr} (r H_r_2) = 0 \quad (12)$$

Οπική συθίκη στο απόσταση ($r \rightarrow \infty$):

$$\vec{H}_2 \rightarrow 0 \Rightarrow \left. \begin{array}{l} H_r_2 \rightarrow 0 \\ H_{\varphi_2} \rightarrow 0 \end{array} \right) \quad (13)$$

$$\left. \begin{array}{l} H_{z_2} \rightarrow 0 \end{array} \right) \quad (14)$$

$$\left. \begin{array}{l} \end{array} \right) \quad (15)$$



$$(4), (10) \Rightarrow H_{z_1} = C_1 \quad \text{&} \quad H_{z_2} = C_2$$

$$(3), (8), (15) \Rightarrow H_{z_1} = H_{z_2} = 0$$

$$(6) \Rightarrow H_{r_1} = \frac{C_3}{r}$$

$$(12) \Rightarrow H_{r_2} = \frac{C_4}{r}$$

Λου ικανοτάσι και την (13).

$$(1), (9) \Rightarrow H_{r_1} = H_{r_2} = 0$$

Ζυνθίστε, η μαρμοτατική λεδιακή ένταση σε προβλήματα με αυγές ή λαρουσιάδες κατινδρική συμπερεία ($\partial/\partial\varphi = 0$) και σκοιωτορρία λασία μικρού του αίγαυα z ($\partial/\partial z = 0$). Όταν έχει μόνο φ συνιστώσα και δεν είναι εντητική μόνο της συνεργασίας.

$$(5) \Rightarrow \left(\frac{1}{r} \frac{d}{dr} (r H_{\varphi_1}) = f \right) \Rightarrow r H_{\varphi_1} = \frac{Jr^2}{2} + C_5 \Rightarrow$$

$$\Rightarrow H_{\varphi_1} = \frac{J \cdot r}{2} + \frac{C_5}{r}$$

H σταθερά C_5 προσδιορίζεται από την οπιακή συνθήκη (2) και είναι $\frac{i}{2\pi}$. Επομένως:

$$H_{\varphi_1} = \frac{J \cdot r}{2} + \frac{i}{2\pi} \quad (18)$$

$$(11) \Rightarrow H_{\varphi_2} = \frac{C_6}{r}$$

Λου ικανοτάσι και την οπιακή συνθήκη (14).

Η σελίδα 6
βρίσκεται από την ευρωπαϊκή ενθύμηση

(7) :

$$\frac{C_6}{a} - \left(\frac{J \cdot a}{2} + \frac{i}{2\pi a} \right) = K \Rightarrow$$

$$\Rightarrow C_6 = \frac{J \cdot a^2}{2} + \frac{i}{2\pi} + K a$$

και γενικά:

$$H_{\Phi_2} = \frac{Ja^2}{2r} + \frac{i}{2\pi r} + K \frac{a}{r}$$

Οι ιδιες δύσεις θα είχαν υπολογιστεί γρηγορότερα από
την απόκτημα που ήταν βασικών νόμων.

Παράδειγμα 7.

Να υπολογιστεί το χρησι μων συμβακών σχέσεων το
μαγνητικό λεδί σε αέρα που αφέλεσαι στη ροή ρεύ-
ματος με σταθερή επιφανειακή λυκνότητα $\bar{K} = K \cdot \hat{y}$
Geo απέραντης έκτασης επινέδο $z=0$.

Λύση

Όπως δείχνεται σε προηγούμενο
παράδειγμα με φυσική υπέρ-
θεση χωρίς μαγνητικά, η
μαγν. λεδιακή ένσαση θα έχει
μόνο x συνιστώσα, που θα σιναί συνάρτηση μόνο των
υπερσυγκέντρων z :

$$\vec{H} = H_x(z) \hat{x}$$

και βασισάσα η εξάρτηση αυτή αλία το z είναι αντισυμμετρική:

$$H_x(-z) = -H_x(z).$$

Η επιφάνεια $z=0$ με το επιφανειακό ρεύμα σίνα επιφά-
νεια ασυνέχειαν και χωρίζει το λεδί σε δύο περιοχές:
Τιν περιοχή ① για $z < 0$ κ' την περιοχή ② για $z > 0$.

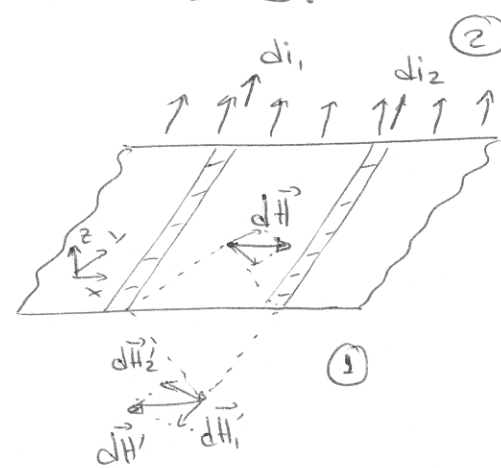


Οι διαφορικές εξισώσειν $\nabla \times \vec{H} = 0$ και $\nabla \cdot \vec{B} = 0$ στις περιοχές

① και ② δίνουν ότι

$$\frac{dH_{x_1}}{dz} = 0$$

$$\frac{dH_{x_2}}{dz} = 0$$



Dυλαδί

$$\mathcal{H}x_1 = C_1 \quad k' \quad \mathcal{H}x_2 = C_2$$

Άνω τον αντισυμμετρικό χαρακτήρα των γυναικείων Ηχών συνάγουμε ότι:

$$C_1 = -C_2.$$

Οι γυναικείες γυναικείες $\hat{n} \times (\vec{H}_2 - \vec{H}_1) = \vec{k}$ και $\hat{n} \cdot (\vec{B}_2 - \vec{B}_1) = 0$

καταλύγουν στην σχέση:

$$\mathcal{H}x_2 - \mathcal{H}x_1 = k_y$$

Dυλαδί

$$C_2 - C_1 = k$$

k' εποιείνως

$$C_2 = -C_1 = \frac{k}{2}$$

και η μηχανική λειτουργία έρχεται σα είναι

$$\vec{H}_1 = -\frac{k}{2} \cdot \hat{x}$$

$$\vec{H}_2 = \frac{k}{2} \cdot \hat{x}$$

Θε γυναικεία με είναι ανορθογώνια απογοήτευση
λαραδιγμάτων.